

Objekttyp: **TableOfContent**

Zeitschrift: **Schweizerische Bauzeitung**

Band (Jahr): **111/112 (1938)**

Heft 6

PDF erstellt am: **12.07.2024**

Nutzungsbedingungen

Die ETH-Bibliothek ist Anbieterin der digitalisierten Zeitschriften. Sie besitzt keine Urheberrechte an den Inhalten der Zeitschriften. Die Rechte liegen in der Regel bei den Herausgebern. Die auf der Plattform e-periodica veröffentlichten Dokumente stehen für nicht-kommerzielle Zwecke in Lehre und Forschung sowie für die private Nutzung frei zur Verfügung. Einzelne Dateien oder Ausdrucke aus diesem Angebot können zusammen mit diesen Nutzungsbedingungen und den korrekten Herkunftsbezeichnungen weitergegeben werden. Das Veröffentlichen von Bildern in Print- und Online-Publikationen ist nur mit vorheriger Genehmigung der Rechteinhaber erlaubt. Die systematische Speicherung von Teilen des elektronischen Angebots auf anderen Servern bedarf ebenfalls des schriftlichen Einverständnisses der Rechteinhaber.

Haftungsausschluss

Alle Angaben erfolgen ohne Gewähr für Vollständigkeit oder Richtigkeit. Es wird keine Haftung übernommen für Schäden durch die Verwendung von Informationen aus diesem Online-Angebot oder durch das Fehlen von Informationen. Dies gilt auch für Inhalte Dritter, die über dieses Angebot zugänglich sind.

Ein Dienst der *ETH-Bibliothek*
ETH Zürich, Rämistrasse 101, 8092 Zürich, Schweiz, www.library.ethz.ch

<http://www.e-periodica.ch>

INHALT: Die Wirksamkeit der Vorspannung im einfach und im symmetrisch bewehrten Eisenbeton-Rechteckquerschnitt. — Verschleiss der Bogenschienenflanken. — Das Stuyvenberg-Spital in Antwerpen und das kreisrunde Krankenzimmer. — Die Bauaktion des «WIR» (Wirtschaftsring). — Mitteilungen: Eidg. Technische Hochschule. Ueberlandstrassen und Fussgänger. Bestimmung elastischer Konstanten mittels Ultraschall. Turboelektrische Lokomotive für 5000 PS. Von der Pragerstrasse. Gross-

bauten in Ingenieur-Holzbau. Gezeitenkraftwerk in U. S. A. Betonbrücken und Landschaft. Röntgenographischer Ferienkurs an der T. H. Berlin-Charlottenburg. «Holter»-Betonstrassenbeläge. — Nekrologe: Gottfried Keller. August Meyer. — Wettbewerbe: Bullingerdenkmal am Grossmünster in Zürich. — Literatur. — Mitteilungen der Vereine. — Sitzungs- und Vortrags-Kalender.

Band 111

Der S. I. A. ist für den Inhalt des redaktionellen Teils seiner Vereinsorgane nicht verantwortlich
Nachdruck von Text oder Abbildungen ist nur mit Zustimmung der Redaktion und nur mit genauer Quellenangabe gestattet

Nr. 6

Die Wirksamkeit der Vorspannung im einfach und im symmetrisch bewehrten Eisenbeton-Rechteckquerschnitt

Von Dipl. Ing. ALBERT SENN, Zürich

Die Vorspannung der Armierung im Eisenbetonbau ist in den letzten Jahren in vermehrtem Masse zur Sprache gekommen. Sie bezweckt bekanntlich die Erzeugung von Betondruckspannungen in der späteren Beton-Zugzone, und damit eine Vermeidung der Rissbildung. Mit den folgenden Ableitungen soll gezeigt werden, in welchem Masse solche Vorspannungen im Eisenbetonquerschnitt durch die Eigenschaften des Betons, nämlich Schwinden und plastische Verformung (Kriechen), vermindert werden.

1. Verminderung der Eisenvorspannung und Erzeugung der Beton-Vorspannungen bei Auslösung der Armierungsvorspannung

Es bedeute in Abb. 1:

σ^* = Vorspannung der Bewehrung,
 $\sigma_{e'}$ = Bewehrungsspannung nach Auslösung der Vorspannung,
 $\sigma_{b'}$ = Betonspannung in der Faser der Bewehrung nach Auslösung der Vorspannung.

Die nach der Auslösung der Vorspannung in der Armierung verbliebene Spannkraft $N_{e'} = f_e \sigma_{e'}$ steht im Gleichgewicht mit den erzeugten Betonspannungen, die sich nach der Formel

$$\sigma = \frac{N}{F} \pm \frac{Mx}{J}$$

berechnen, wobei x den Abstand der betr. Faser von der Schwer-Axe, F den Querschnitt und J das Trägheitsmoment des nicht-armierten Betonquerschnittes bedeuten. Die Betonspannung in der Faser der Bewehrung erreicht daher folgenden Wert:

$$\begin{aligned} \sigma_{b'} &= \frac{N_{e'}}{bh} + \frac{N_{e'} \left(\frac{h}{2} - a \right)^2}{bh^3} \\ &= \frac{N_{e'}}{bh} \left(4 - 12 \frac{a}{h} + 12 \frac{a^2}{h^2} \right) \\ \sigma_{b'} &= \frac{N_{e'}}{bh} k \end{aligned} \quad (1)$$

wobei $k = 4 - 12 \frac{a}{h} + 12 \frac{a^2}{h^2}$ eine Querschnittskonstante ist, die für den symmetrisch bewehrten Querschnitt den Wert 1 hat. Aus der Abb. 1 folgt nun weiter für die Dehnungen:

$$\epsilon^* = \epsilon_{e'} + \epsilon_{b'}$$

also

$$\sigma^* = \sigma_{e'} + n \sigma_{b'} \quad (2)$$

Setzt man für $N_{e'} = \mu b h \sigma_{e'}$ so erhält man aus den Gleichungen (1) und (2)

$$\begin{aligned} \sigma^* &= \sigma_{e'} + n \mu k \sigma_{e'} \\ \sigma_{e'} &= \frac{\sigma^*}{1 + n \mu k} \end{aligned} \quad (3)$$

woraus

$$\begin{aligned} \text{und da } \sigma_{b'} &= \frac{\sigma^* - \sigma_{e'}}{n} \text{ so wird} \\ \sigma_{b'} &= \frac{\mu k \sigma^*}{1 + n \mu k} = \mu k \sigma_{e'} \end{aligned} \quad (4)$$

Für den symmetrisch bewehrten Querschnitt ($k = 1$) vereinfachen sich diese Formeln auf

$$\sigma_{b'} = \frac{\sigma^*}{1 + n \mu} \text{ und } \sigma_{b'} = \frac{\mu \sigma^*}{1 + n \mu}$$

Für den einseitig bewehrten Querschnitt berechnen sich sodann die Randspannungen zu

$$\sigma_u \text{ (Druck)} = \frac{\frac{h}{2} + x'}{\frac{h}{2} + x' - a} \sigma_{b'} \quad \sigma_o \text{ (Zug)} = \frac{\frac{h}{2} - x'}{\frac{h}{2} + x' - a} \sigma_{b'}$$

wobei x' den Abstand der neutralen Faser von der Schweraxe bedeutet. Dieses x' folgt aus der Gleichung

$$\sigma = \frac{N}{F} - \frac{Mx'}{J} = 0 \text{ zu } x' = \frac{h^2}{6h - 12a}$$

Da im Allgemeinen die Auslösung der Vorspannung zu einem Zeitpunkt erfolgen muss, da der Beton noch nicht seine volle Festigkeit erreicht hat, und daher auch das Elastizitätsmodul des Betons noch verhältnismässig klein ist, so muss bei der Be-

rechnung von $\sigma_{e'}$ bzw. $\sigma_{b'}$ für die Zahl n ein entsprechend hoher Wert eingesetzt werden, z. B. $n = 20$ ($E_b = 100\,000$).

In Tabelle I sind für einige Bewehrungsgehalte μ , unter der Annahme $n = 20$, für $a = 0,1h$ und für den symmetrischen Querschnitt die Reduktionskoeffizienten für $\sigma_{e'}$ und $\sigma_{b'}$ angegeben.

TABELLE I

μ	für $a = 0,1h$		für $a = 0,5h$ (symmetrische Bewehrung)	
	$\sigma_{e'} =$	$\sigma_{b'} =$	$\sigma_{e'} =$	$\sigma_{b'} =$
0,005	0,77 σ^*	0,0112 σ^*	0,91 σ^*	0,0045 σ^*
0,010	0,63	0,0184	0,83	0,0083
0,015	0,53	0,0232	0,77	0,0115
0,020	0,46	0,0268	0,71	0,0142
0,025	0,41	0,0297	0,67	0,0167
0,030	0,36	0,0318	0,62	0,0186

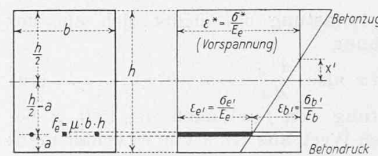


Abb. 1

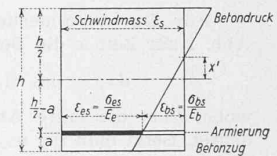


Abb. 2

2. Veränderung der Spannungen $\sigma_{e'}$ und $\sigma_{b'}$ infolge Schwinden des Betons

Durch das Schwinden des Betons entstehen Armierungs- und Betonspannungen nach dem selben Gesetz, wie bei der Auslösung der Vorspannung in der Armierung; nur entsteht durch das Schwinden in der Armierung eine Druckspannung σ_{es} , und in der Betonfaser längs der Armierung eine Zugspannung σ_{bs} , d. h. die Vorspannungen $\sigma_{e'}$ und $\sigma_{b'}$ werden um σ_{es} resp. σ_{bs} verkleinert.

Bezeichnet man (Abb. 2) mit ϵ_s das Schwindmass des nicht-bewehrten Betons, so erhält man nun, entsprechend den Formeln (3) und (4) für die Armierung (Druck)

$$\sigma_{es} = \frac{\epsilon_s E_e}{1 + n \mu k} \quad (5)$$

und für die Betonfaser längs der Armierung (Zug)

$$\sigma_{bs} = \frac{\mu k \epsilon_s E_b}{1 + n \mu k} \quad (6)$$

Die nach dem Schwinden verbleibenden Vorspannungen in der Armierung und in der Betonfaser längs der Armierung betragen daher

$$\sigma_{e2} = \frac{\sigma^* - \epsilon_s E_e}{1 + n \mu k} \quad (7)$$

$$\sigma_{b2} = \mu k \sigma_{e2} \quad (8)$$

In Tabelle II sind für ein Schwindmass von $\epsilon_s = 0,4 \text{ ‰} = 0,0004$ die Schwindspannungen in Armierung und Beton für die selben Querschnitte wie in Tabelle I berechnet.

TABELLE II

μ	$\epsilon_s = 0,0004$		$\epsilon_s E_e = 800 \text{ kg/cm}^2$	
	für $a = 0,1h$		für $a = 0,5h$ (symmetrische Bewehrung)	
	σ_{es} (Druck)	σ_{bs} (Zug)	σ_{es} (Druck)	σ_{bs} (Zug)
0,005	620 kg/cm ²	9 kg/cm ²	727 kg/cm ²	4 kg/cm ²
0,010	510 "	14 1/2 "	667 "	7 "
0,015	426 "	18 1/2 "	615 "	9 "
0,020	370 "	21 1/2 "	570 "	11 1/2 "
0,025	325 "	24 "	533 "	13 1/2 "
0,030	290 "	25 1/2 "	500 "	15 "